— ГЕОХИМИЯ —

УДК 553.411+550.93

ГЕНЕЗИС БЕРЕЗИТОВОГО ЗОЛОТОПОЛИМЕТАЛЛИЧЕСКОГО МЕСТОРОЖДЕНИЯ (НА ОСНОВЕ ДАННЫХ ПО ИЗОТОПНОМУ СОСТАВУ СВИНЦА, КИСЛОРОДА И СЕРЫ)

© 2013 г. О. В. Авченко, А. С. Вах, член-корреспондент РАН А. Н. Горячев, И. А. Александров, Т. А. Веливецкая, И. Н. Капитонов

Поступило 14.05.2013 г.

DOI: 10.7868/S0869565213320157

В статье рассматриваются результаты изучения стабильных изотопов кислорода, серы и свинца в породах и рудах Березитового золотополиметаллического месторождения Верхнего Приамурья, позволяющие прояснить дискуссионные вопросы его генезиса. Актуальность решения данной проблемы определяется тем, что это месторождение содержит флюидно-эксплозивной природы малоизученного и особого типа рудные объекты, которые относительно широко развиты в сопредельных рудных районах Восточного Забайкалья.

Месторождение находится в северо-западной части Амурской области, в пределах восточной части Селенгино-Станового террейна (юго-восточное обрамление Северо-Азиатского кратона), в зоне его сочленения с образованиями северной части Монголо-Охотского складчатого пояса. Оно представлено метасоматическими сульфидсодержащими турмалин-гранат-мусковит-кварцевыми породами, которые образуют в массиве палеозойских порфировидных гранодиоритов крутопадающее тело в форме двух совмещенных перевернутых конусов. В плане рудное тело месторождения имеет сложную линзовидную форму. Длина его на поверхности достигает 950 м. Мощность зоны меняется от 10—15 до 110 м.

Метасоматические породы обнаруживают четко выраженное зональное строение. В направлении от

Дальневосточный геологический институт
Дальневосточного отделения
Российской Академии наук, Владивосток
Северо-Восточный комплексный
научно-исследовательский институт
Дальневосточного отделения
Российской Академии наук, Магадан
Центр изотопных исследований Всероссийского
научно-исследовательского геологического института
им. А.П. Карпинского, Санкт-Петербург

гранитов к центру метасоматической залежи выделяются следующие минералогические зоны.

Зона А. Слабоизмененный гранодиорит. Магматический парагенезис: $Q + Pl_{25-35} + Kfs + Bi + Hb$. Изменение гранодиоритов выражено в развитии вторичного биотита по роговой обманке, появлении в небольших количествах новообразованного мусковита, кварца, хлорита и эпидота. Структура пород гранитная порфировидная среднезернистая. Акцессорные минералы представлены преимущественно апатитом, цирконом, магнетитом, ортитом и сфеном.

Зона Б. Сильноизмененный гранодиорит. Ведущий магматический парагенезис остается таким же как в зоне $A-Q+Pl_{25-35}+Kfs+Bi+Hb$. Однако изменение пород здесь выражено сильнее и обусловлено появлением мелких и мельчайших табличек основного плагиоклаза (вплоть до анортита), обильного мусковита и кварца, эпидота, хлорита и сульфидов, преимущественно пирита. Участками в составе этих гранодиоритов присутствует турмалин и андрадит-гроссуляровый гранат. При этом в породах сохранена первичная гранитная гипидиоморфнозернистая структура. Мощность зоны сильноизмененных гранодиоритов составляет первые метры.

Зона В. "Темно-серые" тонкозернистые метасоматиты представлены плотными темно-серыми породами, в которых широко развиты идиоморфные кристаллы розового граната. Парагенезис пород: $Q + Ms + Gr + Kfs + Bi + Pl_{90-95}$. Своеобразие этого типа пород подчеркивается значительными количествами новообразованного плагиоклаза, по составу близкого к анортиту. В составе метасоматитов в небольших количествах отмечают турмалин, пирит, пирротин, магнетит, ильменит, сфалерит и галенит. Метасоматиты слагают зону мощностью от первых десятков сантиметров до $10 \, \mathrm{M}$, окаймляя трубообразную метасоматическую залежь на ее контакте с гранитами.

Обра- зец	Зона	Минералы										Σ	Res		
		Qtz	Kfs	Plag	Wm	Gr	Bi	Rut	Ep	Apat	Mgt	Ilm	Gbs		ICS
1-Б	A	19	7	49.9	1.7	_	10.6	0.2	9.6	0.5	1.3	_	_	99.8	0.00
5	Б	25.4	9.5	42.9	10.6	_	8	0.1	1.3	0.3	1.8	0	_	99.9	0.00
8-1	В	40.3	6.0	12.9	26.6	4.5	8.6	_	_	0.3	0.4	0.2	_	99.8	0.03
8-2	Γ	47.5	_	1.2	49.7	0.4	_	0.1	_	0.0	0.03	_	1	99.9	0.03

Таблица 1. Модальный состав гранодиоритов и метасоматитов Березитового месторождения (мас. %)

Примечание. Индексы минералов: $Qtz - \kappa$ варц, $Kfs - \kappa$ алиевый полевой шпат, Plag - плагиоклаз, Wm - мусковит, Gr - гранат, Bi - биотит, Rut - рутил, Ep - эпидот, Apat - апатит, Mgt - магнетит, Ilm - ильменит. Gbs - гиббсит. Res - остаток химического состава породы, не укладывающийся в рассчитанный модальный состав. Расчет выполнен с помощью программы <math>MC (http://fegi.ru/institute/innov/461-2013-03-11-03-22-32).

Зона Г. "Светло-серые" рудоносные метасоматиты основной части метасоматической залежи представлены тонкозернистыми светло-серыми породами, в которых видны мелкие единичные розовато-бурые агрегаты граната. В отдельных участках пород совместно с гранатом находятся агрегаты цинковой шпинели — ганита. Парагенезис пород: Q + Ms + Gr + Kfs + Bi. В этих породах анортит отсутствует, а биотит присутствует в весьма малых количествах. Повсеместно в составе метасоматитов в переменных количествах наблюдают также мелкие единичные агрегаты темно-коричневого турмалина.

Модальный состав образцов из всех минералогических зон, рассчитанный по программе МС, показан в табл. 1. Эта программа, описание алгоритма и примеры расчетов, результаты которых приведены в этой таблице, помещены в открытом доступе на информационном сервере ДВГИ ДВО РАН по адресу: http://fegi.ru/institute/innov/461-2013-03-11-03-22-32. Из табл. 1 хорошо видно постепенное увеличение содержания кварца и мусковита в последовательности зон А—Г, что отражает степень увеличения интенсивности метасоматического процесса. Более подробно особенности геологического строения месторождения рассмотрены в публикации [1].

Измерения изотопного состава Рb и U—Pb-отношений в галенитах были выполнены в Центре изотопных исследований ВСЕГЕИ с использованием системы абляции DUV-193 ArF-лазера СОМРех-102 (длина волны 193 нм) и многоколлекторного масс-спектрометра с ионизацией в индуктивно-связанной плазме (ICPMS) Neptune. Возможность высокоточного анализа изотопного состава свинца с использованием данного метода была наглядно показана в работе [2], где подробно описана используемая методика.

Конфигурация коллекторов при Pb—Pb-измерениях позволяла одновременно регистрировать изотопы 202 Hg $-^{203}$ Tl $-^{204}$ (Hg + Pb) $-^{205}$ Tl $-^{206}$ Pb $-^{207}$ Pb $-^{208}$ Pb. Для коррекции масс-дискриминации была использована нормализация измеряемых

отношений по известному отношению 203 Tl/ 205 Tl, которое получали при измерении стандарта (международный стандарт стекло NIST-611) в каждой индивидуальной измерительной сессии. Стандартная ошибка измерений в абсолютных значениях составила: 206 Pb/ 204 Pb 0.02, 207 Pb/ 204 Pb 0.016, 208 Pb/ 204 Pb 0.04.

Изотопный анализ кислорода силикатов и серы сульфидов выполняли в аналитическом центре ДВГИ ДВО РАН в лаборатории стабильных изотопов.

Изотопные отношения $^{18}\text{O}/^{16}\text{O}$ определяли на изотопном масс-спектрометре Finnigan MAT 253 относительно лабораторного стандарта, калиброванного по международным стандартам NBS-28, NBS-30. Воспроизводимость значений $\delta^{18}\text{O}$ (1 σ) составляла $\pm 0.2\%$, n=10. Масса анализируемых образцов была 1-2 мг. Результаты измерений $\delta^{18}\text{O}$ даны в отношении к международному стандарту VSMOW.

Подготовка образцов для масс-спектрометрического изотопного анализа серы проведена по методике В.А. Гриненко [3]. Изотопные отношения серы определяли на изотопном масс-спектрометре Finnigan MAT 253 с использованием двойной системы напуска относительно лабораторного стандарта, калиброванного по международным стандартам NBS123, IAEA-S-1, IAEA-S-2, IAEA-S-3. Воспроизводимость значений δ^{34} S (1 σ) для международных значений составляла $\pm 0.1\%$, n=10. Результаты измерений δ^{34} S даются в отношении к международному стандарту VCDT.

Изотопный состав свинца галенитов из руд Березитового месторождения различных типов характеризуется близкими значениями изотопных соотношений. На диаграмме состава свинца (рис. 1) они попадают в поле галенитов из рудных образований Яно-Колымской изотопно-геохимической провинции, которая, наряду с Омолонской и Алазейско-Олойская провинциями, была выделена для Северо-Востока России на основе изучения изотопного состава рудного свинца [4]. Со-

гласно этим данным, субстрат Яно-Колымской провинции составляют верхнепротерозойские и палеозойско-мезозойские комплексы пассивной континентальной окраины, тогда как Омолонская провинция представлена раннедокембрийским кратонным блоком, а Алазейско-Олойская — фанерозойскими осадочно-вулканогенными образованиями примитивных островных дуг и окраинных морей.

Модельный возраст отторжения свинцов Березитового месторождения определяется диапазоном ~330–400 млн лет (рис. 1). Согласно полученным ранее локальным U-Pb-датировкам цирконов (SHRIMP-II)? установлено, что их возраст составляет в метасоматитах 335 ± 4.8 млн лет, а во вмещающих рудную зону порфировидных гранодиоритах — 344 ± 3.3 млн лет [6]. Близость датировок модельного возраста галенитов и возраста цирконов, а также сходство изотопных характеристик рудного свинца Березитового месторождения с таковыми Яно-Колымской провинции позволяют считать, что источником рудного вещества полиметаллических руд являются палеозойские граниты, формирование которых связано с преобразованием протерозойских метаморфических пород фундамента в процессе палеозойского тектоно-магматического цикла.

Стабильные изотопы кислорода изучали в метасоматических породах и гранитах месторождения (всего 10 образцов). Образцы гранитов отобраны на расстоянии 10, 5, 1 м от контакта с метасоматитами и непосредственно вблизи контакта с метасоматической зоной. Образцы метасоматических пород были представлены "темными" и "белыми" метасоматитами турмалин-гранат-мусковит-биотит-ортоклаз-анортит-кварцевого и турмалин-гранат-мусковит-кварцевого состава соответственно.

Как видно из табл. 2, значение $\delta^{18}O_{SMOW}$ постепенно увеличивается в направлении от слабоизмененных гранодиоритов внутрь метасоматического тела. Из модального состава пород (табл. 1) следует, что в этом же направлении увеличивается количество кварца относительно плагиоклаза, калишпата, биотита и мусковита. Хорошо известно, что последовательность минералов по возрастанию в них $\delta^{18}{\rm O}_{\rm SMOW}$ выглядит следующим образом: биотит-мусковит-кальциевый плагиоклаз-натровый плагиоклаз-калиевый полевой шпат-кварц [7]. Поэтому повышение величины $\delta^{18}O_{SMOW}$ можно легко объяснить наблюдаемым увеличением модального количества кварца. При этом сам факт слабого и постепенного увеличения значения $\delta^{18}O_{SMOW}$ от гранодиоритов внутрь метасоматической зоны указывает на образование метасоматических пород непосредственно по вмещающим гранитоидам. Вместе с тем наименее измененные метасоматозом гранодиориты (обр. 1-Б, табл. 1)

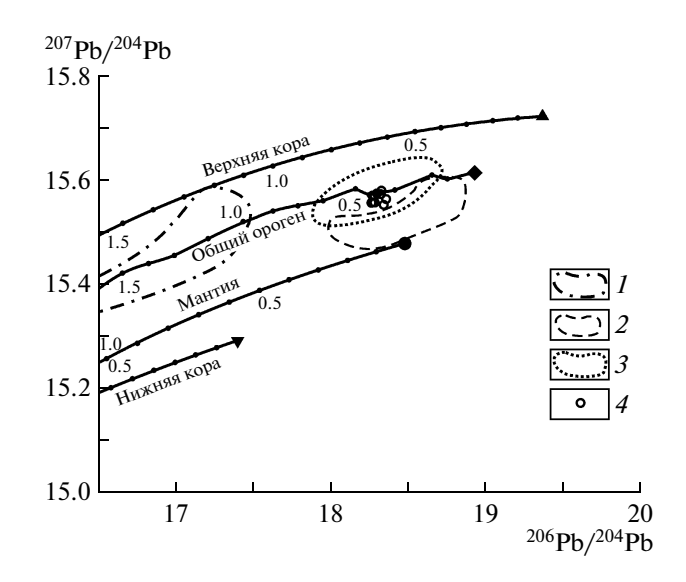


Рис. 1. Диаграмма ²⁰⁶Pb/²⁰⁴Pb—²⁰⁷Pb/²⁰⁴Pb для галенитов месторождения Березитовое.

I-3 — области составов свинца из галенитов Омолонской (1), Алазейско-Олойской (2) и Яно-Колымской (3) провинций Северо-Востока России [4], 4 — точки составов галенитов Березитового месторождения. Сплошные линии — кривые эволюции состава свинца для Верхней и Нижней коры, Мантии и Общего орогена согласно модели "Плюмботектоники" версии IV [5].

по изотопному составу кислорода отвечают "нормальной" группе гранитоидов [8].

В изученных нами образцах пиритов, сфалеритов и галенитов, отобранных преимущественно из массивных полиметаллических руд Березитового месторождения, δ^{34} S колеблется в очень узких пределах: от +1.2 до -2.1 при средней величине -0.18 (табл. 3). Узкий интервал значений δ^{34} S сульфидов и близость его к нулю свидетельствуют о магматическом происхождении серы [9]. Для сульфидов рудных объектов, связанных с гранитоидной магмой, указывали значения δ^{34} S от -4 до +4% [10] или от -3 до +3% [11]. Полученные нами изотопные данные однозначно свидетельствуют о наличии магматического источника серы в сульфидах.

Для пяти образцов рассчитаны температуры сульфидных равновесий по сфалерит-галенитовому (T_1 °C) [12], пирит-сфалеритовому (T_2 ,°C) и пирит-галенитовому (T_3 ,°C) термометрам [10]. Эти температуры попадают в интервал от 294 до 547°C, причем две пары сульфидов в образцах 57 и 1514 имеют нарушенное изотопное равновесие (табл. 3). Тем не менее пять оценок температур из девяти дают относительно узкий интервал температур от 450 до 550°C, которые близки к оценкам P-T-условий формирования гранат-мусковитовых и гранат-биотитовых минеральных равновесий для даек метапорфиритов и рудоносных мета-

Таблица 2. Изотопный состав кислорода ($\delta^{18}O_{SMOW}$) в гранодиоритах и метасоматических породах месторождения Березитовое

Образец	Характеристика породы	$\delta^{18}O_{SMOW}$				
	Зона А					
1-Б	1-Б Слабоизмененный гранодиорит — 10 м от контакта с метасоматитами					
2-Б	Слабоизмененный гранодиорит — 5 м от контакта с метасоматитами	10.1				
3-Б	Слабоизмененный гранодиорит — 1 м от контакта с метасоматитами	9.7				
	Среднее по зоне	9.6				
	Зона Б					
5	Гранодиорит вблизи контакта с метасоматитами	10.0				
5-B	Гранодиорит вблизи контакта с метасоматитами	9.8				
	Среднее по зоне	9.9				
	Зона В	·				
4-A	Метасоматит темный	10.5				
4-B	Метасоматит темный	10.4				
8-1	Метасоматит темный	10.0				
	Среднее по зоне	10.3				
	Зона Г					
6	Метасоматит белый	10.8				
8-2	Метасоматит белый	10.6				
	Среднее по зоне	10.7				

Примечание. Анализы выполнены в аналитическом центре ДВГИ ДВО РАН на изотопном масс-спектрометре Finnigan MAT 253. Аналитики: Е.С. Ермоленко, Т.А. Веливецкая.

соматитов, которые составляют ~520°C и 3.5 кбар . Полученные результаты являются весомым аргументом в поддержку ранее выдвинутой концепции о наложенном локальном высокотемпературном метаморфизме рудоносных гранатсодержащих пород в пределах трубообразного рудного тела Березитового месторождения [13].

В целом представленный материал по составу изотопов свинца, кислорода и серы в породах и рудах месторождения Березитовое, а также ранее полученные данные по U—Pb-возрасту цирконов из гранодиоритов и метасоматитов позволяют считать, что метасоматические породы месторождения, слагающие флюидно-эксплозивную структуру, образовались непосредственно по вмещающим палеозойским гранитоидам. Установленные высокие оценки температур сульфидных равновесий, рассчитанные по соотношениям изотопов серы в минеральных па@рах галенит—сфалерит, пирит—сфалерит и пирит—галенит, подтверждают ранее выдвинутый тезис о наложенном локальном метаморфизме

Таблица 3. Изотопный состав пиритов, сфалеритов и галенитов из руд Березитового месторождения

Образец	Минерал	$\delta^{34}S_{CDT}$	T_1 , °C	T₂, °C	T ₃ , °C
57	Пирит	0.2		***	
	Сфалерит	0.9	294	***	
	Галенит	-1.4			525
1288	Галенит	-1.6			
	Сфалерит	0.2	368		
1294	Пирит	0.4			
1390	Галенит	-1.3			
1503	Галенит	-2.1			
1514	Галенит	0.0	***		
	Сфалерит	-0.1	***		
3Γ-1109	Пирит	1.2		384	
	Сфалерит	0.5	547		
	Галенит	-0.6			480
3Г-1111	Пирит	1.1		384	
	Сфалерит	0.4	547		
	Галенит	-0.7			480

Примечание. T_1 , T_2 , T_3 — сфалерит-галенитовый [12], пирит-сфалеритовый и пирит-галенитовый [13] термометры. *** — нарушенное изотопное равновесие. Анализы выполнены в аналитическом центре ДВГИ ДВО РАН на изотопном масс-спектрометре Finnigan MAT 253. Аналитики: В.М. Авченко, Н.П. Коновалова, Т.А. Веливецкая.

метасоматитов и руд, проявившемся в пределах трубообразной структуры. Состав изотопов рудного свинца полиметаллических руд месторождения может служить основанием для вывода о среднепалеозойском возрасте их источника.

Исследования выполнены при поддержке Дальневосточного отделения РАН (гранты 12-III-A-08—145, № 12—III-A-08—146, № 12—III-CO-08-0).

СПИСОК ЛИТЕРАТУРЫ

- 1. *Bax A.C.*, *Степанов В.А.*, *Авченко О.В.* // Руды и металлы. 2008. № 6. С. 44—55.
- 2. Willigers B.J.A., Baker J.A., Krogstad E.J., Peate D.W. // Geochim. et cosmochim. acta. 2002. V. 66. № 6. P. 1051–1066.
- 3. Гриненко В.А. // ЖНХ. 1962. № 7. С. 578—582.
- 4. *Чернышев И.В., Шпикерман В.И.* // ДАН. 2001. T. 377. № 4. C. 530—533.
- Zartman R.E., Haines S.M. // Geochim. et cosmochim. acta. 1988. V. 52. P. 1327–1339.

- 6. Вах А.С., Авченко О.В., Сергеев С.А., Пресня-ков С.Л. // ДАН. 2011. Т. 438. № 5. С. 659—664.
- 7. *Hoefs J.* Stable Isotope Geochemistry. B.; Heidelberg: Springer, 2009. 281 p.
- 8. *Taylor H.P.* // Earth and Planet. Sci. Lett. 1978. V. 38. P. 177–210.
- 9. Йенсен М.Л. Геохимия гидротермальных рудных месторождений. М.: Мир. 1970. С. 129—147.
- 10. Омото Х., Рай Р.О. Геохимия гидротермальных рудных месторождений. М.: Мир? 1982. С. 405–450.
- 11. *Field C.W.*, *Fifarck R.H.* // Geol. and Geochem. Epitherm. Syst. 1985. V. 2. P. 99–128.
- Li Y., Liu J. // Geochim. et cosmochim. acta. 2006.
 V. 70. P. 1789–1795.
- 13. Авченко О.В., Вах А.С., Сахно В.Г., Степанов В.А., Ноздрачев Е.А, Шарова О.И. // ДАН. 2010. Т. 432. № 2. С. 203—209.